轨物科技
WWW.THINGCOM.COM

光伏清检一体化机器人系统解决方案技术白皮书

智能巡检 · 高效清洁 · 安全运维 · 绿色能源



智能清洁 | 精准巡检 | 安全可靠 | 绿色低碳

摘要

在全球能源结构转型与“双碳”目标驱动下，光伏装机容量持续增长，电站后期的智能化运维已成为影响光伏产业高质量发展的关键技术瓶颈。组件积尘、异物遮挡诱发的发电量损失与热斑效应安全风险，叠加石化厂区、柔性支架、无人机禁飞区等极端场景约束，使传统"人工清洗 + 定期人工/无人机巡检"的运维范式全面失效。

本白皮书系统阐述一套已在国能集团某石化厂区柔性支架光伏电站（总装机 20.07MW、38976 块组件、占地 164330m²）规模化部署的**光伏清洁·检测一体化机器人系统**。方案以“主控板 + 视觉处理板”异构主从式架构为骨架，以多光谱视觉融合（红外温度场 + 可见光特征）为感知核心，以基于实例分割的路径完整性判断与冗余停机机制为安全屏障，以云边协同的智慧运维平台为运营底座。

系统核心指标（实测）：热斑检测误报率 **4.2%**（较单红外阈值法的 54.7% 降低 92.3%）；防跌落全链路响应 **417ms**、实测制动距离 **约 2.92cm**（安全余量 94.9%）；边缘端实例分割推理 **15FPS**、反光特征检测单帧 **42–48ms**、正午强反射工况反光识别准确率 **98.8%**；多机并发云端通信平均响应 **594ms**。22 台机器人集群在沿海台风多发区的长期稳定运行，验证了该方案作为大规模智能光伏运维技术范式的工程可行性。

关键词：光伏运维；清检一体化机器人；多光谱视觉融合；实例分割；热斑检测；主从式协同控制；边缘计算；防跌落安全；智慧运维平台

第一章 行业背景与问题定义

1.1 光伏运维的战略地位

在光伏电站的全生命周期运营评价体系中，年发电量始终是衡量电站经济效益、资产价值与技术性能的核心指标，而发电系统的获利能力直接取决于光电转换效率的长期维持水平。光伏阵列长期暴露于复杂野外环境，组件表面不可避免地受到积尘、沙垢、鸟粪及工业污染物的覆盖：

- **遮蔽效应**：表面附着物大幅削弱到达硅片的有效太阳辐射强度，直接压低发电功率；
- **热斑诱因**：不均匀遮挡诱发局部热斑效应，导致组件内部产生不可逆的物理损伤并缩短使用寿命；
- **安全风险**：局部高温可能烧毁电池片、引燃封装材料，在石化等存在易燃易爆物料的厂区构成火灾隐患。

实证数据表明，仅环境间歇性遮挡一项，即可对光伏阵列造成显著的季节性损失：

典型日	功率损失比例	损失发电量
春分日	7.49%	2081.63 kWh
夏至日	6.97%	1004.64 kWh
秋分日	3.50%	761.51 kWh
冬至日	4.00%	814.15 kWh

这笔损失的特点是：不开发票、不触发告警，但按日累积、直接侵蚀电站收益。对于石化、水泥、矿区等高粉尘排放环境中的电站，化学粉尘与颗粒物的长期沉积还会引发表面之下的深层劣化——热斑、裂纹、玻璃破碎及封装材料老化问题频发，运维需求的迫切性进一步升级。

1.2 传统运维范式的三重失效

(1) **人工模式的失效。** 传统光伏组件检测依赖人工携带设备定期巡检，面对超大规模电站暴露出劳动强度大、作业效率低、一致性差的固有缺陷；清洗依赖人工刷具或高压水枪，需承担极高的人工成本与水资源损耗。在大坡度山地、高海拔戈壁或狭窄屋顶，作业人员的安全风险与漏检率同步上升。在净空高、跨距大、下方伴随叉车作业的柔性支架电站，人工高空作业本身就是安全风险源。随着人口红利消退与劳动力成本持续上涨，人工清洁的经济性已无法满足大规模电站集群的运维需求。

(2) **无人机模式的失效。** 无人机高空俯视视角可快速覆盖大面积光伏阵列，但在复杂气象条件下面临稳定性不足与续航受限的问题，且难以实现近距离的精细化作业；更关键的是，石化园区等高风险工业场景普遍划设无人机禁飞区，该技术路线在最具运维价值的场景中被制度性封死。

(3) **单功能清洁设备的失效。** 现有光伏清洁机器人在面对复杂的光伏面板几何布局与多变的作业任务时，普遍表现出感知能力单一、控制策略鲁棒性差的问题：只能"扫"不能"看"，热斑、隐裂、异物遮挡等安全隐患在清洁过程中被机械性地忽略；同时传统光学传感器存在明显局限——可见光可识别积尘、碎裂及异物遮挡，但对组件热斑缺乏探测能力；红外热成像可通过温度差异识别异常热斑，却在复杂光照下易受环境反射干扰，且难以精确定位缺陷形态。

1.3 产业与技术现状

机器人产业现状：以色列 Airtouch、美国 Ecoppia 及国内仁洁智能、上海伟匠、深圳怪虫等企业均已深度参与光伏清洁机器人研发；山东科技大学、兰州理工大学、浙江大学、杭州电子科技大学等高校在相关领域持续产出成果，其中杭州电子科技大学团队依托嵌入式系统与机器人领域的积淀，通过产学研融合已实现多家企业的产业化落地。



检测技术演进：光伏组件热斑检测经历了"电气测量法 → 红外热成像法 → 计算机视觉法 → 多光谱融合"的演进。多光谱融合研究集中于三个方向：图像配准（特征点匹配实现空间对齐）、特征级融合（深度神经网络交叉融合纹理/形状/温度特征）、决策级融合（各模态独立诊断后加权决策）。但其工程化瓶颈同样明确：如何在算力受限的边缘设备上实现实时多路视频处理与高精度融合，以及如何应对相机振动、环境光剧变对配准精度的动态影响。

嵌入式控制现状：中小型移动平台的协同控制分为集中式、分布式总线、主从式多模块协作三类。对于需要同时兼顾姿态稳定性、工作效率与多光谱识别准确性的荒漠/滨海/厂区机器人，主从式架构是综合最优解。

1.4 问题的技术本质与设计要求

综合上述约束，大型复杂场景光伏电站对运维装备提出四项递进要求，分别对应本方案的四项核心技术：

设计要求	工程含义	对应核心技术
R1 去人化	禁飞、高净空、高风险环境下完全自主作业	主从式协同控制架构
R2 一体化	清洁与巡检同载体异步协同，摊薄共同成本	"清洁-巡检"一体化状态机
R3 安全自持	支架变形、组件缺失时自主避险，不依赖外部保障	实例分割防跌落策略
R4 诊断可信	强反射、多粉尘、剧变光照下输出低误报、可追溯数据	多光谱融合热斑识别

第二章 需求分析与总体设计

2.1 目标场景画像

本方案的原型场景为国能集团某石化厂区柔性支架光伏电站，其环境参数具有典型代表性：

维度	参数/特征	工程含义
电站规模	20.07MW，38976 块组件，占地 164330m²	集群化部署需求
电气拓扑	19 个子阵、108 台逆变器、1392 个组串（每串 28 块组件串联）	缺陷需定位至组件级
支架形式	大跨距、高净空柔性支架	柔性索几何非线性，风荷载下 0.1–2Hz 持续晃动，刚性轨道

		假设失效
气候环境	沿海亚热带季风气候，强辐射、高湿度、盐雾侵蚀，台风中心风力可达 15 级	组件移位/缺失风险高，防护等级要求高
厂区约束	无人机禁飞区；下方为聚烯烃/聚丙烯物料堆场与叉车作业区	必须自主感知；坠落后果为"设备+物料+人员"三重损失
污染特征	化学粉尘与颗粒物长期沉积	清洁频次高；遮挡诱发热斑的成因复杂

2.2 设计目标与验收判据

- G1 **安全目标**：机器人在柔性支架高空运行时，对光伏板缺失/大幅移位实现自主检测与紧急制动；**验收判据**：制动距离 ≤10cm；全链路不依赖无人机与人工干预；通信中断时自动停机。
- G2 **诊断目标**：复杂光照与反射环境下热斑精准识别；**验收判据**：真实热斑检出率不低于单红外基准法，误报率降至 5% 以下，单帧推理满足实时性（≥10FPS）。
- G3 **作业目标**：单次作业同时完成阵列清洁与双光谱数据采集；**验收判据**：巡检覆盖全部作业路径（限位传感区间），双光数据带统一时间戳与位置标签。
- G4 **运营目标**：多机集群统一管控、远程运维、数据云端归档；**验收判据**：平台支持批量参数下发与固件升级；断网数据不丢（断点续传）；高并发响应可用。

2.3 技术路线论证

(1) **清洁机构路线**——三种主流路线的多维对比：

技术路线	自主化程度	环境适应性	作业稳定性	初期投入	短板
地面行走式清	低	低	高	高	体积庞大、依

洁车					赖人工驾驶/半自主，崎岖/狭窄场景通过性差
表面移动式机器人	高	高	较差	较低	续航、定位导航精度、路径规划效率受限，存在滑落风险
干挂式机器人（本方案）	高	较好	较好	高	初期投资高、受轨道约束、跨排作业受限

本方案选择干挂式：导轨耦合保证滚刷与组件宽度/倾角匹配，单次往返实现大面积均匀覆盖；清洁质量一致性最高；在高净空禁飞场景中规避无人机限制与地面叉车干扰。其"受轨道约束"的短板在本场景中反而转化为优势——轨道即安全边界。

(2) 控制架构路线——三种嵌入式协同架构对比：

架构类型	实时性	处理能力	系统成本	结论
集中式控制	高（仅简单任务）	有限	低	多光谱视觉任务加入后单核拥塞，姿态纠偏等强实时指令响应滞后
分布式总线控制	中	较强	一般	CAN/RS485/工业以太网扩展性强，但总线仲裁为精密时序任务引入不确定通信延迟

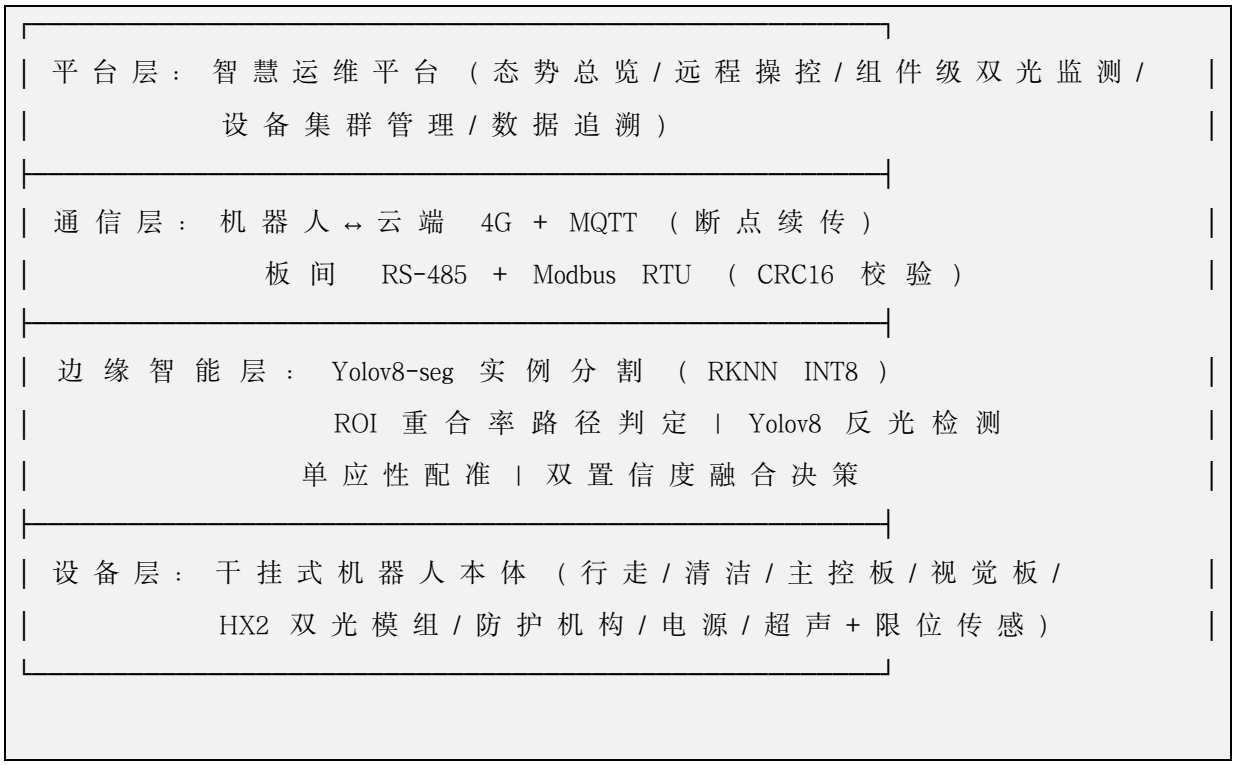
主从式协作控制（本方案）	高（并行处理）	极强	较高	运动逻辑与图像处理物理分工，事件驱动，兼顾实时性与算力

(3) **检测技术路线**——四种热斑检测方法对比：

检测方法	核心原理	准确性	边缘部署可行性	应用瓶颈
电气测量法	I-V 曲线/旁路二极管检测	较高	高	无法定位组件级空间位置；节点式监测布线成本高昂
单红外热成像	温度异常检测	高	高	玻璃镜面反射导致虚假报警严重（实测误报率 54.7%）
红外-可见光融合（本方案）	温度信息+图像信息综合判断	高	中等	需解决图像配准精度（本方案以单应性变换克服）
深度学习融合	注意力机制+知识蒸馏	高	低	算力需求大，超出嵌入式平台

2.4 系统总体架构

系统自下而上分为四层：



第三章 硬件系统设计

3.1 异构主从式控制器架构

3.1.1 设计动机

机器人需同时兼顾运动底盘轨迹控制、传感器信息读取与处理、摄像头图像获取及图像算法实时处理。传统单控制器架构在实时性与任务并行处理上难以流畅运行：视觉任务的计算资源竞争会直接影响运动控制的精密性，而运动控制的周期任务又会挤占图像处理的算力窗口。解耦是唯一出路。

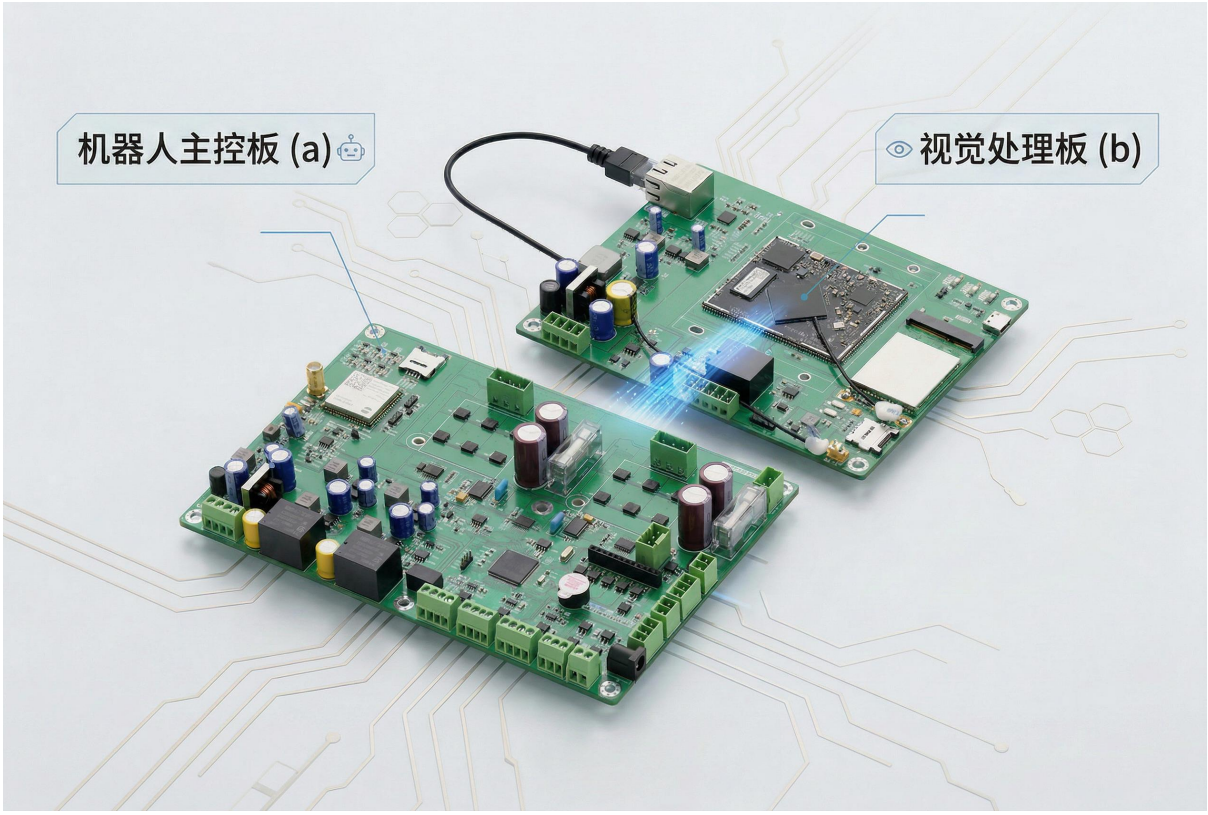
3.1.2 主控板设计

主控板以基于 ARM Cortex-M3 架构的 GD32F303VET6 工业级芯片为核心，构建分布式控制逻辑，整合运动控制、能量管理、环境感知与异构通信四大板块；整体硬件电路集成太阳能充放电控制器、大容量蓄电池组、双路大功率电机驱动模块和多功能网关单元。软件包含八个功能模块：

序号	模块	功能说明
1	无线调试模块	针对高空支架作业环境，自建 WiFi 热点克服常规通信距离短/配置复杂的局限，支持调试终端快速接入、现场实时信息监控与系统日志调取
2	超声波传感器（同侧双点分布）	实时监测两个传感器相对光伏板支架的距离差值，构建机身偏斜感知模型，确保机器人在支架轨道上高精度平行作业
3	充放电控制器接口	标准 Modbus-RS485 总线交互，读取电池电压、充放电电流、运行状态及历史累计数据，保障极端户外供电安全
4	遥控模块	地面调试与测试环境的手动控制接口，接收无线遥控指令实时接管基础运动，降低近场维护复杂度
5	限位传感器	部署于轨道两端的边界感知单元，防止越界，确保作业边界可控
6	电机驱动控制	双路大功率驱动；制动采用分段减速策略（详见 5.4 节）
7	摄像头电源控制模块	继电器按需供电，非作业时段切断电源，降低静默功耗并延缓图像传感器老化
8	摄像头保护机构控制	电驱动推杆控制防护舱门启闭（详见 3.3 节）

3.1.3 视觉处理板设计

视觉处理板以 **RK3568**（集成 0.8TOPS NPU）为核心，搭载摄像头模块，专注高清图像流实时获取、图像预处理与 AI 推理模型运行，识别结果与告警经通信链路回传主控板。



选型权衡的工程逻辑是本架构的精髓：

- 主控板**弃用应用处理器、选用工业级 MCU**：在强电磁干扰的光伏场站，"指令必达、时序确定"比"性能冗余"更重要——电机控制与安全仲裁不容许任何调度抖动；
- 视觉板**控制在 RK3568 而非更高算力平台**：整机视觉模组功耗约束在 1.8W 以内，通过 RKNN INT8 量化将算法装入 0.8TOPS NPU，而不是用更大的电池供养更大的芯片——功耗、续航、散热三重约束下的系统最优解；
- **解耦的可靠性收益**：即使视觉算法处理延时或通信波动，运动系统也不会因计算资源竞争或通信阻塞而卡死——这是 G1 安全目标在架构层的保障。

3.1.4 主从协同的核心难题

两板协同需解决三个问题：①两板时钟频率、任务调度算法、数据处理能力显著不同，指令下达与状态回传存在不可避免的延迟；②光伏电站复杂电磁环境导致数据包丢失或损坏；③动态模式切换中主从状态机须严格同步，防止指令丢失导致逻辑死锁或运动失控。对应解法分别为：异步标志位协同（4.2 节）、CRC16 校验（5.3 节）、告警位轮询机制（5.3 节）。

3.2 多光谱感知集成模块

3.2.1 HX2 双光视觉模组规格

参数	规格
处理器架构	瑞芯微 RV1106
红外探测器	256×192 氧化钒（VOx）非制冷焦平面探测器
热灵敏度	NETD＜50mK@25℃，F#1.0，25Hz
测温范围/精度	−15℃～+150℃（高增益），精度 ±2℃
镜头	无热化定焦镜头
可见光传感器	GC2093，1920×1080 高清
视频编码	H.264
工业协议	RTSP / ONVIF / Modbus-TCP
红外视场角	90°×65°
可见光视场角	95.8°×76.1°
整机功耗	＜1.8W

温度数据输出	256×192 全幅原始温度矩阵（逐像素绝对测温值）

3.2.2 传输链路设计

巡检产生的大带宽视频流对传输链路提出高要求。数据链路层选用 **RTL8211FD 千兆以太网 PHY**：完全符合 IEEE 802.3 标准，支持 10/100/1000Mbps 自适应，通过 RGMII 接口对接 RK3568，具备低功耗与抗电磁干扰能力——在光伏场站高频电磁环境中确保高速图像流传输的低延迟与高完整性。物理接口采用 **HR911130C 单口 RJ45 连接器**：内部集成磁性变压器与 LED 状态指示灯；**2250Vdc 隔离电压**可有效防止雷击感应电流或地电位差对核心控制电路的冲击；0.3–100MHz 范围内具备优异的回波损耗与共模抑制比，抑制高速传输中的信号畸变与串扰；符合 RoHS 规范并通过 UL 认证。

3.2.3 双光谱互补性

可见光与红外在同一时间坐标下同步输出，构成互补感知空间：

故障类型	可见光	红外
表面积尘/沙垢	直接可见	△（间接温升）
碎裂、玻璃破损		△
异物遮挡（鸟粪/落叶）		（诱发热斑）
热斑效应	（不可见）	（核心手段）
镜面反射干扰	（可识别反光区）	（误报来源）

可见光通道的长板恰好覆盖红外通道的短板（反射干扰），这是第六章融合算法的感知论基础。

3.3 摄像头环境防护机构

3.3.1 问题定义

光伏电站通常位于高辐射、多风沙或高湿度的偏远地区，环境因素对精密光学传感器的影响是长期且致命的。特别是红外氧化钒探测器对外部环境极其敏感——任何细微的灰尘覆盖或水渍残留都会显著影响热灵敏度，导致测温精度偏差。若无防护方案，镜头表面积尘需频繁人工擦拭，既增加运维成本，又容易在擦拭中划伤镜头。



3.3.2 结构设计

- **主保护仓**：高强度铝合金腔体——优异机械强度 + 良好导热性能，辅助视觉模组在高温作业下被动散热；
- **驱动核心**：直流电动推杆，后端固定于仓体内部支架，前端经传动连杆连接防护盖门；
- **启闭结构**：盖门经高精度铰链与仓体上缘结合，形成类似上悬窗的启闭结构，确保紧密关闭；

- **密封**：盖门内侧边缘贴高弹性硅胶密封条，推杆完全收回时在机械锁力下与仓体边缘紧密闭合，形成相对密封的准无尘空间；
- **安装**：HX2 模组安置于金属支架，镜头中心轴线与防护仓前端开口完全对齐；悬浮式安装兼顾内部走线，金属支架形成二次散热路径。

3.3.3 运行时序（与任务状态深度融合）

【开启流程】巡检指令 → 推杆伸出、盖门开启 → 拍摄首张照片 → 识别确认"开盖到位" → 摄像头上电 → 正式采集
【关闭流程】任务完成 → 推杆回缩、盖门闭合 → 拍摄最后一张照片 → 识别确认"关盖到位" → 停止图像采集与视频传输 → 切断摄像头电源

状态绑定规则：非巡检状态（空载行驶、转场、充电站待机）下，防护机构保持闭合，配合继电器电源控制，整个感知系统处于**零功耗 + 全封闭**状态——既节约能源，又避免行走中溅起的水滴、碎石对镜头造成不可逆机械损伤。

设计价值：先开盖后通电的时序规避了视觉芯片在密闭高温腔体内的自发热，并保证传感器上电即获清晰图像；对红外探测器而言，测温稳定性得以长期维持；对运维成本而言，防护机构使传感器具备自保护能力，大幅降低维护频率、消除人工擦拭划伤风险。

3.4 电源与能源管理

系统集成太阳能充放电控制器与大容量蓄电池组，经标准 Modbus-RS485 总线持续读取电池电压、充放电电流、运行状态及历史累计数据；视觉模组供电由主控板经视觉板继电器按需调度（主控 GD32 经通信链路告知视觉板，由 RK3568 发出控制指令驱动继电器）。能源管理策略与作业状态机深度耦合：非作业时段感知系统零功耗，巡检时段按需供电，保障极端户外环境下的供电安全与续航。

第四章 "清洁-巡检"一体化作业体系

4.1 双模作业模式

系统启动后根据云平台下发指令判定工作模式：

- **一般清洁模式**：机器人按预设恒定速率在轨道上行走，执行基础刷洗动作；
- **影像巡检模式**：启用图像采集功能，行进中定点拍照，对前方光伏板缺失与移位实时判断（存在异常立即停机保障安全），同步采集可见光+红外双光谱数据供缺陷诊断。

"清洁为主、巡检辅助"的一体化范式，使设备从单一清扫工具进化为具备诊断能力的移动监测终端：一次作业同时产出"干净的阵列"与"完整的组件健康档案"。

4.2 双板工作流程（逐步分解）

主控板（行走机构）工作流程：

1. 系统上电，传感器自检、通信链路确认，进入待机；
2. 接收任务指令，判定清洁/巡检模式；
3. 巡检模式下下发采集指令，携带时间戳、阵列编号等环境参数；
4. 轮询查询"图像采集完成标志"，确认视觉板工作状态（异步解耦：即便通信波动或视觉算法延时，也不阻塞运动逻辑）；
5. 收到完成置位后驱动机器人行进至下一作业点，重复采集循环；
6. 全程实时接收视觉板告警位，异常即紧急制动；
7. 直至触发轨道末端限位传感器，任务结束。

视觉处理板工作流程：

1. 待机监听主控板指令；待机状态下模组通常处于断电+物理遮蔽状态；
2. 接收采集指令后执行硬件状态自检；若模组未上电，先驱动电推杆开启防护盖门，待物理空间完全开放后再接通继电器供电（规避密闭高温腔体内自发热，保证上电即得清晰图像）；
3. 从 HX2 模组读取可见光与红外图像数据；
4. 双光谱原始数据按统一命名协议存入指定文件夹；

5. 置位"图像采集完成标志"，通知主控板；

6. 判断是否运行至轨道尽头，决定是否启动下电闭盖流程；

7. 本地分析状态机执行缺陷识别，结果作为路径决策约束回传；

8. 独立的文件异步上传状态机持续检测本地缓存并自动上云。

4.3 系统顶层状态机模型

主控板状态机：初始化 → 待机 → 工作。系统内部集成信息处理状态机（轮询+中断结合收集外部控制指令与传感器信号）与控制处理状态机（实时调整电机动作），双层状态机保证复杂工况下的运动可靠性；清扫过程中持续检测前方光伏板移位/缺失，及时对电机执行紧急制动。

视觉处理板状态机：待机监听 → 拍摄初始化（开保护机构+上电）→ 图像获取（双光成像）→ 反馈拍摄完成状态 → 本地分析（缺陷识别）→ 识别结果作为机器人路径决策的关键约束条件；文件异步上传状态机独立运行。

两板通过定制化通信协议实现状态同步，构建完整闭环控制体系：主控状态机保障运动精度，视觉状态机赋予感知能力，时序协同是高精度巡检与高效清洁的技术基础。

4.4 数据归档与远程调阅

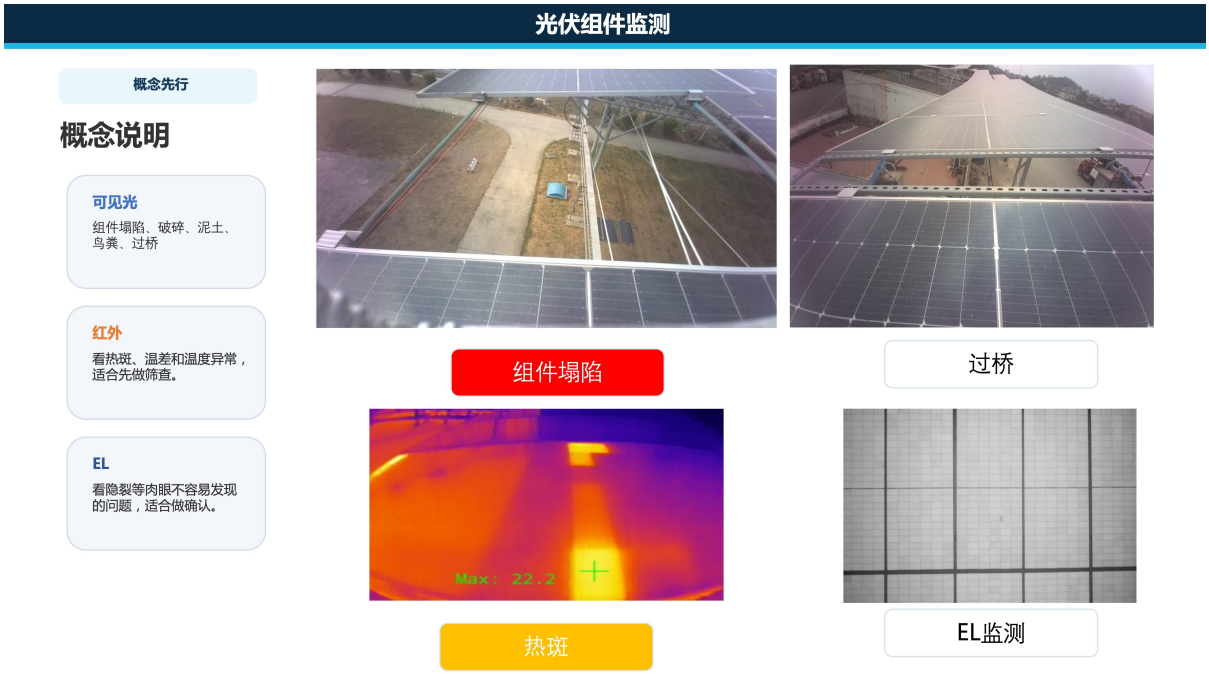
巡检数据按统一命名协议归档：

文件类型	命名字段构成
可见光图像	时间（14B）+ 阵列编号（4B）+ 位置（8B）+ 编码器信息（4B）+ 告警信息（2B）
红外图像	时间（14B）+ 阵列编号（4B）+ 位置（8B）+ 最高温度（4B）+ 最低温度（4B）+ 平均温度（4B）

统一命名使每组多光谱数据具备一致的时间基准——即使机器人以较高速度行进，后续算法比对时参与运算的可见光与红外图像也源自同一时刻的同一光伏面板区域。运维系统以组件为单位并列呈现同一位置的可见光与红外图像，叠加位置标签与精确时间戳，为组件级故障定位提供直观依据。

4.5 软件调试与出厂质量体系

- **串口通信调试**：经串口调试助手实时监测主控板与充放电控制器、超声波传感器、视觉处理板的数据交互，对通信帧格式、CRC 校验、超时机制逐项验证；
- **云端通信调试**：MQTT 调试工具监测图像上传消息与数据差异更新消息，重点验证重连机制与断点续传；
- **服务器压力测试**：模拟多台机器人并发高频数据交互，实测并发场景平均响应耗时 594ms，同步监测连接稳定性、消息吞吐量与延迟波动；
- **设备功能测试**：逐台记录 IMEI 编号、控制板电源状态、网关通信状态、传感器工作状态、电机运行状态等关键参数，批量健康检查确保每台设备出厂达标。



第五章 安全保障：实例分割驱动的防跌落系统

5.1 风险建模

该光伏电站位于沿海区域，属典型亚热带季风气候，长期受强辐射、高湿度及盐雾侵蚀，台风多发（台风中心附近最大风力可达 15 级）。电站采用大跨距、高净空柔性支架结构，支架动态响应与风致震动使光伏组件的移位与缺失风险远高于常规地面电站（台风后组件整片脱落的实拍案例印证了这一点）。一旦机器人运行路径上的光伏板发生缺失或错位而未及时制动，机器人将从高空坠落——不仅硬件损毁，且下方为物料堆放与人员作业区域，极易导致物料损坏与人员伤亡。

同时，厂区位于无人机禁飞区，无法使用无人机对光伏板缺失提前预判。**设计基线由此确立：机器人必须在不依靠任何外部设备的前提下，自主判断前方光伏板缺失状态并完成制动。**

5.2 感知算法链

5.2.1 Yolov8-seg 的边缘部署与 RKNN 量化加速

视觉处理任务由视觉处理板执行，其核心硬件 RK3568 集成 0.8TOPS 算力 NPU。模型迁移流程分两个阶段：

PC 端阶段：Yolov8-seg 基于 PyTorch/Ultralytics 框架开发，先导出通用 ONNX 中间格式，再经 RKNN-Toolkit2 工具包执行模型转换（模型配置 → 模型加载 → 模型构建三步），配置阶段指定 RK3568 为目标平台并定义与输入预处理一致的推理参数。转换过程中执行 **INT8 量化**：以一组具有代表性的光伏板现场图像为校准数据集，量化引擎分析各层激活值分布，自动计算定点化缩放因子与偏移量，将 32 位浮点运算映射为 8 位整数运算——极大降低算力消耗与模型体积。

嵌入式端阶段：生成 .rknn 离线权重文件后，在视觉处理板部署 RK NPU 驱动与 RKNN Runtime 环境，以 C API 编写推理应用，将模型加载至 NPU 显存实现数据流实时输入输出。

性能结果：推理帧率维持在 15FPS 左右，高于主控板 10Hz 的查询频率需求——感知层留有 50% 算力冗余，不构成系统瓶颈。

5.2.2 复杂背景下的分割鲁棒性

现场验证表明，量化后的模型在强光直射、组件表面反光、支架结构交叉阴影等严苛条件下保持稳定检测；分割掩码与实际板边缘高度贴合；对大跨距柔性支架产生的视觉透视畸变具备鲁棒性——无论正前方近景还是视场边缘远景组件，均能实现独立实例分割，避免不同组件间的粘连现象。

5.2.3 摄像头安装几何的定量优化

基础参数:

参数	符号	数值
单块光伏板长度	L_panel	2.0 m
单块光伏板宽度	W_panel	1.13 m
轨道总长	L_total	3.39 m
摄像头安装高度	H	0.5 m
水平视场角	FOV_h	95.8°
垂直视场角	FOV_v	76.1°
图像分辨率	—	1920×1080（约 207.36 万像素）

三项关键指标的几何推导结论:

- **有效面积比例**（光伏板像素占全图比例）：随俯视角增大呈"先快速增加后饱和"的非线性趋势——20° 时仅 37.53%；约 60° 时达 100%（约 207.4 万像素，较 20° 时的 77.8 万像素特征细腻度提升近 1.6 倍）；
- **前瞻距离**（光轴与地面交点到机器人中心线的水平投影，决定算法响应预留时间）：随俯视角增大指数级减小——20° 时 1.37m；60° 时仅 0.29m；

- **光伏板覆盖率**：低角度区间可维持 90% 以上，随角度增大急剧减小。

权衡结论：较大俯角增强局部细节但牺牲前瞻性。最终选定 **30° 俯视角、0.5m 安装高度**——前瞻距离约 0.87m，可清晰覆盖前方 2–3 块光伏板，为实例分割提供可靠原始输入，同时避免过高支架带来的倒立摆式稳定性问题。

5.2.4 ROI 预警区域与重合率判定模型

基于石化园区实拍分析，预警 ROI 区域划定为机器人前方两块光伏板中心附近的**梯形区域**：梯形上底对应第二块光伏板较远边界，下底贴近第一块光伏板较近边界——确保算法只处理与安全最相关的区域，过滤天空背景干扰。

每帧计算重合率：

$$P = \frac{S_{overlap}}{S_{ROI}} \times 100\%$$

其中 $S_{overlap}$ 为 Yolov8-seg 输出掩码矩阵与 ROI 区域矩阵逻辑与运算后的交集像素数。算法在每帧推理后更新内部告警位状态。

阈值设定：综合 30° 安装角透视误差与板间装配缝隙，经园区现场多轮实验确立 **80% 安全阈值**。$P > 80\%$ 判定路径完整；$P < 80\%$ 触发缺失报警。

实测表现：

- 正常工况：重合率通常 ≥90%，典型实测 ROI 总面积 571795 像素、重合面积 552627 像素，覆盖率 **96.65%**——调试终端输出"光伏板覆盖正常"；
- 模拟缺失（人为移除板材）：覆盖率显著低于阈值，实测 **79.04%** 即触发预警并回传告警信号；
- 判定边界清晰，不同光照条件与缺失程度的多组实验均验证了逻辑可靠性。

方法论优势：相比传统边缘直线检测，面积重合率法容错性更强——柔性支架上板边界呈曲线而非直线，阴影遮挡与光影干扰频繁，基于区域整体覆盖比例的判定可有效平滑局部识别波动，仅当重合率真正低于阈值才判定异常，避免频繁误报。

5.3 冗余停机机制与分布式通信协议

5.3.1 Modbus RTU 协议与 CRC16 校验

板间通信基于 RS-485 总线的 Modbus RTU 协议（主从式架构：主机主动轮询、从机受控响应，保证总线控制权唯一性）。协议帧紧凑的二进制结构较 ASCII 模式更高效、实时性更好，最大帧长 256 字节：

字段	Address	Function	Data	Check
长度	1 字节	1 字节	N 字节	2 字节

CRC16 计算流程（生成多项式 0x8005，寄存器初值 0xFFFF）：逐字节与 CRC 寄存器低 8 位异或 → 右移检测最低位 → 为 1 则与 0x8005 异或 → 循环 8 次 → 遍历全帧 → 输出校验码（低位在前、高位在后附加帧尾）。接收端执行相同运算，结果不一致即判为错误数据并直接丢弃，防止误触发导致电机转速异常或拍摄故障。

CRC16 检错能力（代数编码特性分析）：可检出所有奇数个比特错误（CRC16 码字非零项个数为偶数）、所有单个突发错误（此类差错多项式不能被生成多项式整除）、所有双比特错误（最小码距为 4）；16 位冗余的漏检概率上界仅 **1/65536**——每 65536 个数据包才可能出现一个不可检错误，对光伏清洁机器人的中低速通信而言已足以支撑跨模块数据交互。

5.3.2 自定义协议帧与状态字节

- **0xB0 启动图像采集指令**：主控板向视觉板下发采集模式（不采集/采集并上传/仅采集三态）、阵列编号、当前位置、桥架编号等环境参数，是一体化作业流程的逻辑启动指令；
- **0xB1 状态读取指令**：主控板以 **100ms（10Hz）固定频率**周期轮询从机状态；
- **FA/FB 状态字节位定义**：

字节	位	含义

FA	Bit0	采集状态（0 未完成 / 1 完成）
FA	Bit1	摄像头初始化状态
FA	Bit2	图像上传状态
FA	Bit3–Bit7	预留
FB	Bit0	摄像头故障
FB	**Bit1**	**光伏板缺失告警（防跌落判定直接数据来源）**
FB	Bit2–Bit31	预留

5.3.3 双重停机判据

- **判据一（告警触发）**：视觉板检测到 ROI 重合率低于 80% 时立即将 FB.Bit1 置 1；主控板单次轮询解析到该位即判定路径缺失风险，**立即紧急制动并切断驱动电机电源**；
- **判据二（通信容错）**：主控板发出指令后在规定时间内未收到响应或 CRC 校验失败，记录一次异常；**连续 5 次**异常即判定视觉处理板失效——为规避继续运行的坠落风险，同样执行紧急停机。

即"看不见"与"联系不上"都会停车：安全冗余不依赖任何单一通道的完整性。

事故响应链路：紧急制动触发时，主控单元同步记录机器人当前坐标，通过 **4G 通信模块**向云端管理平台推送运行异常状态（含精准位置信息），运维人员据此通过登高设备进行现场排查与复位——毫秒级停机与精准定位告警构成完整闭环。

5.4 全链路时序分析与可靠性验证

实验设定：额定作业速度 0.25m/s，人为移除光伏板模拟缺失，评估从识别异常到物理静止的全过程响应。当重合率恰好低于 80% 阈值时，视野内光伏板距机器人还有 0.57m，叠加 30° 俯角 0.87m 前瞻距离，机器人距缺失边缘尚有 **1.44m 安全距离**。

响应过程五阶段耗时分解：

响应阶段	环节	平均耗时
感知层	模型推理	66.7 ms
通信层	RS-485 轮询	100 ms
执行层	主控逻辑处理	10 ms
机械层	电机制动减速	240 ms
总计	**全链路响应**	**约 417 ms**

电机制动采用分段减速策略：速度从初始值 7000 逐步递减至 0，每 10ms 减少 300，约 240ms 完成制动。制动距离按梯形法数值积分计算：

$$d = \sum_{i} \frac{v_i + v_{i+1}}{2} \times \Delta t \approx 2.92\text{cm}$$

结论：实际物理制动距离约 **2.92cm**，远小于 10cm 设计上限；相对 1.44m 的边界距离，**安全余量高达 94.9%**。机器人在触及光伏板边缘前早已平稳静止——"视觉感知 + 边缘推理 + 分布式通信 + 机械制动"的完整安全回路，在毫秒级时序预算内可靠闭合。

第六章 多光谱智能诊断：热斑识别与虚假目标剔除

6.1 热斑的物理机制：从遮挡到火灾的风险链

热平衡基础：光伏组件并非理想能量转换器——入射太阳辐射仅一小部分转化为电能，其余通过反射散失或被材料吸收转化为热能；组件与环境持续进行对流、辐射、传导换热，共同决定表面温度场的动态演变。正常无遮挡时，各电池片电学参数出厂一致性良好，相同辐照度与风速下热力学状态趋于平衡，红外热像图表现为颜色连续平稳的区域（局部可能仅有极微弱温度梯度，无显著高温突变点）——这是健康状态的判别基准。

真实热斑机理：主流组件采用多电池片串联结构。当部分电池片被落叶、鸟粪等局部遮挡时，其光生电流显著下降，电学特性从电能输出源转变为消耗电能的等效负载，被迫进入反向

偏置状态；正常电池片产生的电能相当部分消耗在受遮挡电池片上，导致局部显著温升。实验定量结果（MPPT 电流工况下）：

遮挡比例	0%	2%	5%	7%	10%
受遮挡电池电压	0.55 V	0.55 V	0.54 V	**−7.88 V**	**−12.91 V**

遮挡比例上升突破临界阈值（约 5%–7%）后，反向偏置电压呈指数增长，局部耗散功率迅速攀升；当流经受遮挡电池的电流与偏置电压之积达到最大值时，热斑发热最剧烈。后果分级：封装材料老化 → 玻璃盖板炸裂（永久性物理损毁）→ 温度升至材料燃点引发电站火灾。

6.2 虚假热斑的物理机理：镜面反射

反射功率推导：入射太阳辐射满足能量守恒 E = E_R + E_A + E_T；对光伏玻璃盖板，吸收率通常 <1%，反射率与透过率之和近似为 1。斜向下观测时（为规避正向垂直安装所需的 1.2m 高重心——其倒立摆效应会诱发整机晃动与高频震动、图像运动模糊与底盘疲劳应力，故工程上选择斜向下安装以低重心换稳定性），红外传感器接收的总辐射中包含大量玻璃表面反射的环境辐射。反射功率估算：

$$P_{ref} = E_{solar} \times R \times A_{panel} \times F_{view} \times \tau_{atm}$$

参数	物理意义	典型值
E_solar	地面太阳辐射强度	1020.75 W/m²
R	光伏板表面反射率	0.09
A_panel	光伏板面积	2.0 m²
F_view	视场角因子	0.5
τ_atm	红外波段大气透过率	0.85

晴天工况下反射功率可达约 78.09W。红外摄像头依据斯特藩-玻尔兹曼定律（$E = \varepsilon\sigma T^4$，$\sigma \approx 5.67\times10^{-8}$ W/(m²·K⁴)）将接收辐射换算为温度读数——强反射光被误判为表面自发辐射，产生与真实热斑特征几乎一致的温升伪影。**这是单模态传感的物理盲区**：实测中单红外 60℃ 阈值法误报率高达 54.7%。

6.3 异构视场下的数据同步与空间配准

HX2 模组经以太网向视觉处理板实时传输可见光图像、红外图像与 256×192 全幅温度矩阵；采集与处理解耦——模组负责前端成像与测温初解析，融合算法在算力更高的 RK3568 上执行。融合前必须完成严格的时间与空间对齐：

（1）时间同步：基于拍照指令触发的全局时间戳管理机制。主控板依行走位置与编码器反馈下发拍摄指令时，将系统时间戳、组件阵列编号封装于控制帧；视觉板将以太网获取的三路数据绑定该指令周期时间戳。文件命名协议保证离线检索与回溯时双模数据同源同刻（字段构成见 4.4 节）。

（2）视场对齐（裁切）：可见光 1920×1080/16:9/95.8°×76.1°，红外 256×192/4:3/90°×65°——可见光画面四周边缘处于红外温度感知盲区。**确立"以红外为基准"原则**：利用两路镜头内参与预设安装偏置参数，在可见光像素平面定位红外视场对应的物理坐标区间，经中心裁切算子将可见光长宽比由 16:9 调整为 4:3。拒绝任何插值/外推补齐红外数据的方案——缺乏物理依据的补齐将产生伪数据污染判定。

(3) 空间映射（单应性变换）：可见光与温度矩阵分辨率存在量级差异，且巡检存在透视畸变（图像各区域投影比例不一致）。建立基于单应性变换的坐标索引模型：以红外温度矩阵索引为源平面、可见光像素坐标为目标平面，3×3 单应性矩阵 H（调试阶段在光伏面板四角点选取匹配点对求解）实现两坐标系非线性对齐，消除双镜头轴向位移与畸变影响。变换后每个红外异常高温坐标都能精准映射至可见光相应区域，且裁切后每组可见光像素在温度数组中存在唯一能量映射点——**拒绝低分辨率温度数据的像素插值扩充**，保证温度数据零失真。

6.4 三级融合判定架构

第一级·红外温度场初筛：直接检索 256×192 原始温度矩阵最大值（每个元素为对应像素区域的绝对测温值）。最高温 < **60℃ 预警阈值** → 判定组件处于安全运行区间，跳过后续复杂算法进入下一帧处理循环。该初筛使高耗视觉算法仅在真有可疑高温时启动，显著降低大面积巡检的系统平均功耗。

第二级·可见光反光特征提取：检测到 >60℃ 后，可见光图像输入部署于 RK3568 的 Yolov8 检测模型（同样 RKNN 量化优化，单帧 42–48ms），提取太阳直射引起的镜面反射区域。训练阶段引入大量虚假热斑负样本（正常电池片均匀背光面、金属边框局部反光干扰），模型输出反光区域预测框坐标与置信度评分——赋予系统甄别视觉干扰源的能力。

第三级·空间一致性校验 + 双置信度加权决策：

- **空间一致性校验**：将红外异常温升数据点经单应性矩阵投影至可见光成像平面，与 Yolov8 反光区域边界比对——若异常温度点**未落入**任何反光区域 → 非反光引起，判定真实热斑；若**落入**反光区域 → 热斑与镜面反射存在因果关联，但 Yolov8 判定的反光区域本身存在置信度问题，几何校验不足以下结论，进入加权判定。
- **双置信度线性加权判定函数**：

$$S = \alpha \cdot C_T + \beta \cdot (1 - C_R)$$

参数	含义	取值与依据
C_T	红外温度置信度	建立在实测最高温对 60℃ 预警阈值的偏离程度上——温度越高，热斑物理确定性越高

C_R	可见光反光置信度	直接取自 RK3568 上 Yolov8 模型输出的分类概率分值
α / β	模态权重	**α=0.55，β=0.45**——红外测温是电池片热状态的直接物理指标，具有不可替代的底层诊断价值，故给予更高权重偏置
S 阈值	判定门限	**0.7**（热斑温度高于预警温度时才进入此判断逻辑）

- **两类结果讨论**（目的是排除 Yolo 模型对反光区域识别错误的情况）：

  a. 温度较高 **且** 反光识别置信度较高 → 太阳辐射造成的虚假热斑，加权判断后**剔除**，不记录报警信息；

  b. 温度较高 **但** 反光识别置信度较低 → 反光识别存在误差，加权判断后**确认为真实热斑**，立即触发告警。

- **设计哲学**：这种非对称加权策略确保系统面对极端高温点时，即便伴随一定程度视觉反光干扰，仍能通过高 C_T 维持判定灵敏度，防止因环境干扰漏检——**在漏检与误报的权衡中，安全场景优先保检出率**。综合得分 S 介于 0–1 之间，为多级决策提供连续的概率评分依据。

6.5 鲁棒性测试与性能验证

测试集构成（1000 张机器人原始拍摄图像，覆盖典型干扰场景）：

样本类型	早晨	正午	傍晚	合计
真实热斑	150	150	100	400
虚假热斑（反射）	150	200	150	500

正常组件	30	40	30	100
合计	330	390	280	1000

反光识别模型表现：正午强镜面反射工况下识别准确率最高，达 **98.8%**；云层漫反射干扰下召回率略有下降，但整体保持极强鲁棒性；RK3568 平台单帧平均推理 42–48ms，满足实时巡检要求。

核心对比实验（同一 1000 组双光数据，单红外法设定为"温度矩阵任一值 >60℃ 即判热斑"；融合法叠加单应性空间校验与加权决策）：

评价维度	单红外阈值法	多光谱融合算法	性能提升
总报警次数	848	401	报警量下降 52.7%
误报次数	464	17	下降 96.3%
误报率	**54.7%**	**4.2%**	**提升 92.3%**

误报率下降一个数量级且真实热斑检出率不受损——告警从"半数存疑"变为"可信工程信号"，运维闭环自此成立。

6.6 告警处置闭环

判定为真实热斑后：立即触发热斑告警信号 → 经 4G 上传状态至运维平台 → 同步上传对应图片与位置信息。运维平台以组件为单位并列呈现可见光与红外图像，叠加位置标签与精确时间戳；支持按区域、逆变器、诊断结论多维筛选查询，结合算法诊断结论制定维护策略——形成"发现→定位→处置→归档"的组件级闭环。

第七章 通信体系与云边协同

7.1 板间通信：确定性优先

两板在时钟频率、任务调度、处理能力上的差异导致指令与状态回传存在不可避免的延迟；光伏场站复杂电磁环境造成数据包丢失或损坏；频繁的模式切换要求主从状态机严格同步。板间通信设计原则为**确定性优先于带宽**（协议选型、帧结构、CRC16 校验、FA/FB 状态字节详见 5.3 节）：以紧凑二进制帧、主从轮询、逐帧校验与容错计数，在低成本总线换取确定性行为。

7.2 云端通信与数据链路

- **接入**：4G 通信模块 + MQTT 协议，承载图像上传消息与数据差异更新消息；
- **可靠性**：重连机制 + 断点续传；现场图像先存本地缓存，独立的文件异步上传状态机持续检测缓存并自动补传——通信波动不导致数据丢失；
- **服务端能力**：压力测试模拟多机器人并发高频交互，实测平均响应耗时 594ms，连接稳定性、消息吞吐量、延迟波动均满足高并发实时处理要求。

7.3 智慧运维平台

面向大跨距高净空柔性光伏电站"运维场景复杂、设备分布广、环境感知要求高"的特点，平台集成物联网数据采集、实时通信、可视化展示与智能决策支持技术，采用多区域可视化布局：

功能域	详细能力
态势总览	左侧面板：机器人集群实时状态统计与清扫作业宏观数据（在线设备数、作业面积覆盖率、历史清扫里程）；顶部：气象参数实时接入（风速、风力等级、风向标准差）——高空作业安全评估与调度优化依据；中央：拓扑关系

	图+数据看板，展示电站运行态势与机器人实时作业轨迹
远程操控	启停控制、参数配置、状态监测、固件升级；实时掌握运行状态、电池电量、电机电流等关键参数；按需调整工作模式与运行参数
组件级双光监测	检测记录列表（区域编号、位置信息、诊断结论、更新时间）；双光图像并列查看；按区域/逆变器/诊断结论多维筛选，结合诊断结论制定维护策略
设备集群管理	全部在线设备信息表格化呈现（设备编号、通信状态、运行状态、固件版本）；批量操作与参数下发，多台机器人集中配置更新与固件升级
数据追溯	运行日志、电流记录、操作日志历史查询，支撑故障排查与性能分析

分层递进的信息架构使运维人员在单一视图内完成"宏观态势感知 → 微观设备监控"的全链路操作。

第八章 工程验证与现场应用

8.1 三级验证体系

实验室阶段：搭建模拟光伏阵列平台，对行走机构、清洁装置、视觉感知系统进行全面功能验证——机械结构、电气系统、传感器校准、软件算法优化多环节并行。

试验场阶段：防跌落全链路时序实测（5.4 节：417ms/2.92cm）；多光谱算法鲁棒性测试（6.5 节：1000 组样本、4.2% 误报率）。

现场联调阶段：轨道适配调试、通信链路测试（串口帧格式/CRC 校验/超时机制逐项验证；MQTT 重连与断点续传验证；服务器压测）、巡检参数优化，确保系统在真实工况下稳定运行。

出厂环节：批量功能测试——逐台记录 IMEI 编号、控制板电源状态、网关通信状态、传感器工作状态、电机运行状态等关键参数，系统性健康检查确保每台设备达标。

8.2 规模化部署

系统在国能集团某石化厂区柔性支架光伏电站实现规模化应用：**22 台机器人**集群部署于不同光伏阵列轨道，并行执行清洁与巡检作业；轨道悬挂系统稳定运行，有效规避厂区禁飞区限制与地面叉车作业干扰——充分体现干挂式设计在复杂工业环境下的适应性优势。多机数据经 4G/MQTT 汇聚云端，平台单视图管理全站设备，气象模块联动作业安全评估。

8.3 核心指标汇总

指标类别	指标	实测值
安全	防跌落全链路响应	约 417 ms
安全	实测制动距离	约 2.92 cm（设计上限 10 cm）
安全	安全余量	94.9%（1.44m 边界距离）
安全	通信容错	连续 5 次异常自动停机
诊断	热斑检测误报率	4.2%（单红外法 54.7%）
诊断	误报次数下降	96.3%（464 → 17 次/千组）
诊断	反光识别准确率（正午强反射）	98.8%
感知	实例分割推理帧率	15 FPS（10Hz 需求）

感知	反光检测单帧推理	42–48 ms
感知	阈值体系	路径 80% / 温度 60℃ / 决策 0.7
平台	并发平均响应耗时	594 ms
硬件	双光模组功耗	< 1.8 W
部署	规模验证	20.07MW 电站 / 22 台集群

第九章 可靠性与环境适应性设计综述

本方案的可靠性设计贯穿四个层面，构成可迁移的设计范式：

（1）算力可靠性——以架构换算力。 主从式解耦使实时控制与 AI 推理互不抢占资源；INT8 量化使 0.8TOPS NPU 承载安全关键算法；推理帧率留有 50% 冗余（15FPS vs 10Hz 需求）；红外初筛的分级架构让高耗算法只在必要时启动——功耗与算力的双重节约。

（2）感知可靠性——以融合补盲区。 可见光与红外互补覆盖"表面缺陷—热异常"两类故障域；单应性配准保证跨模态特征可比对；"以红外为基准、拒绝插值"的配准原则杜绝伪数据；双置信度加权在漏检与误报之间做出偏向安全的非对称权衡。

（3）通信可靠性——以冗余兜底。 CRC16 检错（漏检概率 1/65536）过滤电磁干扰下的错误报文；告警触发+通信容错双重停机判据使任何单点失效均导向安全侧；MQTT 断点续传保证数据完整性；制动时的位置上报保证异常可追溯。

（4）环境可靠性——以时序续寿命。 防护机构"零功耗全封闭"待机策略将光学器件的环境暴露压缩至作业必需的最小集合；先开盖后通电时序规避密闭腔体自发热并保证成像质量；硅胶密封阻断沙尘雨水侵蚀；继电器按需供电延缓 CMOS 老化——精密器件寿命从被动损耗变量转化为受控设计变量。

第十章 发展路线图

面向更极端、更复杂的电站运行环境，系统演进沿四个维度展开：

(1) 复杂环境下的全天候自适应能力升级。 引入激光雷达、超声波阵列等多传感器融合，弥补极端情况（强逆光、暴雪、浓雾）对纯视觉系统的影响；研究刷盘压力、行走轨迹的自适应调节算法，使机器人在雨雪、结冰等极端天气下保持高效作业。

(2) 边缘侧感知算法的轻量化与模型迭代。 随检测类别扩展（隐裂、边框紧固度、支架状态等），算力压力将进一步增大；探索更先进的轻量化神经网络，在保证分割精度的前提下进一步降低推理时延，提升响应速度。

(3) "云-边-端"协同的集群智能运维。 单机作业能力已趋于成熟，向集群控制系统演进：通过 5G 等组网技术将单机识别的热斑数据、组件缺失信息实时同步云端，构建**组件级数字地图**；利用大数据分析实现多机协同作业与调度，从单机智能跨越到集群智慧，实现电站全生命周期自动化管理。

(4) 硬件结构的多功能模块化设计。 逻辑解耦已实现，进一步优化物理结构模块化：可快速更换的清洁执行机构；增加组件边框紧固度检测、柔性支架健康监测等附加传感器模块，扩展机器人的数据巡检维度。

第十一章 结论

本白皮书阐述的光伏清洁·检测一体化机器人系统解决方案，以四项核心技术回应了大规模复杂场景光伏电站运维的四项根本要求：

1. **异构主从式架构**（GD32 工业级 MCU 高实时控制 + RK3568 NPU 边缘推理 + 1.8W 级功耗约束）实现了运动精度与智能诊断的并行不悖，从架构层面保障了安全关键任务的确定性；

2. **实例分割驱动的防跌落系统**（Yolov8-seg INT8 量化 15FPS + 30°/0.5m 安装几何优化 + ROI 重合率 80% 阈值模型 + CRC16 冗余通信 + 双重停机判据）实现 417ms 全链路响应与约 2.92cm 制动距离、94.9% 安全余量，在禁飞、柔性支架、台风多发场景构建了自主安全屏障；

3. **多光谱融合诊断**（红外 60℃ 初筛 → Yolov8 反光提取 → 单应性空间配准 → 双置信度加权 α=0.55/β=0.45、阈值 0.7）将热斑误报率从 54.7% 压降至 4.2%（误报次数下降 96.3%），使组件级告警成为可信的运维输入；

4. **云边协同的智慧运维平台**（4G+MQTT 断点续传、594ms 并发响应、组件级双光监测、批量集群管理）将 22 台机器人的规模化部署转化为可持续运营的数字化资产。

系统在 20.07MW 石化厂区柔性支架电站的长期稳定运行，验证了该技术范式的工程成熟度。其方法论意义可以概括为：**算力不足时以架构解耦来省，传感器存在物理盲区时以多模态融合来补，通信不可靠时以冗余机制来兜底，环境恶劣时以防护时序来续寿命**——技术选型未必每一步都最先进，但每一步都立足该场景下最可靠的选择。该范式可为柔性支架及常规光伏电站的智能化运维、以及更广泛的"边缘 AI + 安全冗余"移动机器人场景提供完整的工程参照。